

## ОСОБЕННОСТИ ЭНЕРГЕТИЧЕСКОГО РАСПРЕДЕЛЕНИЯ ЕДИНИЧНОГО ЛЕПТОНА ПРИ ПОИСКЕ ЧАСТИЦ ТЕМНОЙ МАТЕРИИ НА ILC/CLIC — ИСТОЧНИКЕ ОПРЕДЕЛЕНИЯ МАСС ЭТИХ ЧАСТИЦ

*П. А. Крачков*

Новосибирский государственный университет, Новосибирск, Россия

Измерение не зависящих от деталей динамики процесса особенностей в энергетическом распределении единичного лептона в каскадном процессе  $e^+e^- \rightarrow D^+D^- \rightarrow DDW^+W^- \rightarrow DD(q\bar{q})\mu\nu$  позволит надежно определить массы кандидата на роль частицы темной материи  $D$  и ее заряженных партнеров  $D^\pm$  в будущих экспериментах на линейном коллайдере ILC/CLIC.

The measuring of model independent singularities in the energy distribution of single lepton in the cascade process  $e^+e^- \rightarrow D^+D^- \rightarrow DDW^+W^- \rightarrow DD(q\bar{q})\mu\nu$  will allow one to reliably determine the mass of a candidate for dark matter  $D$  and its charged partners  $D^\pm$  in future experiments at linear collider ILC/CLIC.

PACS: 14.80.-j; 14.80.Ly; 12.60.-i; 12.60.Jv

Во многих моделях темная материя состоит из частиц, похожих на частицы из Стандартной модели. Стабильность этих частиц обеспечивается сохранением нового дискретного квантового числа, называемого ниже  $D$ -четностью. Все известные ныне частицы  $D$ -четны, тогда частицы темной материи  $D$ -нечетны. Мы рассматриваем модели, в которых помимо нейтральной  $D$ -нечетной частицы  $D$  массой  $M_D$  существуют заряженные  $D$ -нечетные частицы  $D^\pm$  массой  $M_\pm > M_D$  и, быть может, еще одна нейтральная  $D$ -нечетная частица  $D^A$  массой  $M_A > M_D$ . В этих моделях спины всех  $D$ -частиц  $s_D$  одинаковы,  $s_D = 0$  или  $1/2$ ,  $D$ -частицы взаимодействуют с известными ныне частицами только через калибровочные  $W$ - и  $Z$ -бозоны, фотон и бозон Хиггса, константы взаимодействия с калибровочными бозонами — обычные константы связи Стандартной модели.

Поиск таких кандидатов на роль частиц темной материи и других  $D$ -нечетных частиц и измерение их масс — важная проблема в ускорительной физике. На LHC трудно ожидать хорошей точности при таком измерении. ILC/CLIC дает эту возможность для широкого класса моделей. Следуя [1], мы рассмотрим основной процесс рождения таких частиц в столкновениях  $e^+e^-$  в линейном коллайдере ILC/CLIC:

$$e^+e^- \rightarrow D^+D^- . \quad (1)$$

Частицы  $D^\pm$  быстро распадаются<sup>1</sup> на  $D$  и  $W^\pm$ , иногда на  $D$ ,  $W^\pm$  и  $Z$ . Наблюдению подлежат продукты распада  $W$  и  $Z$  — пары струй (ди-джеты), представляющие  $q\bar{q}$ -пары или дилептоны  $\ell\nu$  (для определенности мы будем говорить о мюонах). Сечение этого процесса составляет значительную часть полного сечения  $e^+e^-$ -аннигиляции в ILC, где его можно надежно наблюдать и исследовать.

Границы энергетических распределений дилептонов или ди-джетов, представляющих  $W$ , можно было бы использовать для определения масс  $M_\pm$  и  $M_D$  [2] (см. также [3, 4]). Для этого необходимо аккуратно измерить верхнюю и нижнюю границы этих распределений. К сожалению, из-за неопределенности в измерении энергий отдельных струй нижняя граница оценивается плохо, и аккуратные измерения в ди-джете невозможны. В лептонной моде наблюдаемым является лишь заряженный лептон, поэтому использование кинематического метода границ невозможно. Недавно выяснилось, что энергетическое распределение лептона  $\ell = \mu, e$  в каскаде

$$e^+e^- \rightarrow D^+D^- \rightarrow W^+DW^-D \rightarrow (\ell^+\nu)(q\bar{q})DD \quad (2)$$

помимо верхней границы распределения содержит хорошо выделяемые особые точки, измерение положений которых позволяет определить массы  $M_\pm$  и  $M_D$  [1]. Ниже вычислены соответствующие распределения и продемонстрировано, что эти особые точки достаточно четко выделяются на соответствующих кривых.

В с.ц.и. для  $e^+e^-$  (лабораторная система для коллайдера) энергии,  $\gamma$ -факторы и скорости  $D^\pm$ , родившихся в реакции  $e^+e^- \rightarrow D^+D^-$ , таковы:

$$E_\pm = E = \frac{\sqrt{s}}{2}, \quad \gamma_+ = \frac{E}{M_+}, \quad \beta_+ = \sqrt{1 - \frac{M_+^2}{E^2}}. \quad (3)$$

*Если частица  $D^A$  не существует или  $M_A > M_\pm > M_D$ , то единственный возможный распад  $D^\pm$  есть  $D^\pm \rightarrow DW^\pm$ , так что мы имеем дело с процессом*

$$e^+e^- \rightarrow D^+D^- \rightarrow DDW^+W^-. \quad (4)$$

Наблюдаемые состояния содержат продукты распада обоих  $W$  и большую потерянную поперечную энергию  $E_T$ , уносимую невидимыми и стабильными  $D$ . Эти признаки позволяют с уверенностью выделить такие состояния среди возможных продуктов  $e^+e^-$ -столкновения. Их наблюдение будет надежным сигналом рождения кандидатов на частицы темной материи. В нашей задаче мы предлагаем использовать конечные состояния (2), 2 струи + мюон (электрон). Такие события составляют около 30 % полного числа событий реакции.

---

<sup>1</sup>  $W$  может быть реальным (on-shell) или возбужденным (off-shell). Под off-shell  $W^*$  понимается состояние дилептона  $\ell\nu$  или ди-джета с квантовыми числами  $W$  и эффективной массой  $M^* < M_W$ .

При  $M_{\pm} - M_D > M_W$  в распаде  $D^{\pm}$  рождается реальный  $W$ -бозон (on-shell), относительные вероятности различных его каналов распада хорошо известны [4]. Эффективная масса получающейся  $q\bar{q}$ - или  $\ell\nu$ -пары есть  $M_W$ .

В системе покоя  $D^{\pm}$  происходит двухчастичный распад  $D^{\pm} \rightarrow DW^{\pm}$ , здесь энергия и импульс  $W$  вычисляются так:

$$E_W^r = \frac{M_+^2 + M_W^2 - M_D^2}{2M_+}, \quad p_W^r = \frac{\Delta(M_+^2, M_W^2, M_D^2)}{2M_+}, \quad (5)$$

$$\text{где } \Delta(s, s_1, s_2) = \sqrt{s^2 + s_1^2 + s_2^2 - 2ss_1 - 2ss_2 - 2s_1s_2}.$$

Обозначая через  $\theta$  угол вылета  $W^+$  в этой системе по отношению к направлению движения  $D^+$  в лабораторной системе и  $c = \cos\theta$ , мы получаем энергию  $W^+$  в лабораторной системе:  $E_W^L = \gamma_+(E_W^r + c\beta_+ p_W^r)$ . Таким образом, энергия пары  $\ell\nu$  или ди-джета, получившихся из распада  $W$ , определяется в пределах интервала [3]

$$E > E_W^{L, \text{up}} = \gamma_+(E_W^r + \beta_+ p_W^r) \geq E_W^L \geq E_W^{L, d} = \gamma_+(E_W^r - \beta_+ p_W^r). \quad (6)$$

Для скалярных  $D$ -частиц ( $s_D = 0$ ) все направления вылета  $W$  в системе покоя  $D^+$  равновероятны, поэтому получившееся распределение однородно по энергии,  $dN(E) \propto dc \propto dE$ . Для спинорных  $D$ -частиц ( $s_D = 1/2$ ) тот же вывод получается после усреднения по углам вылета и спинам [1].

Перейдем теперь к вычислению *энергетического распределения мюонов* из каскада  $D^+ \rightarrow DW^+ \rightarrow D\mu^+\nu$ . В системе покоя  $W$  энергия и импульс мюона равны  $M_W/2$  (мы пренебрегаем массой мюона). В лабораторной системе  $\gamma$ -фактор и скорость  $W$  равны  $\gamma_{WL} = E_W^L/M_W$  и  $\beta_{WL} \equiv \sqrt{1 - \gamma_{WL}^{-2}}$ . Как и выше, обозначая через  $\theta_1$  угол вылета  $\mu$  по отношению к направлению движения  $W$  в лабораторной системе и  $c_1 = \cos\theta_1$ , находим, что при данном значении  $E_W^L$  энергия мюона есть

$$E_{\mu}^L = E_W^L(1 + c_1\beta_{WL})/2. \quad (7)$$

Подставляя (6) в (7), получаем

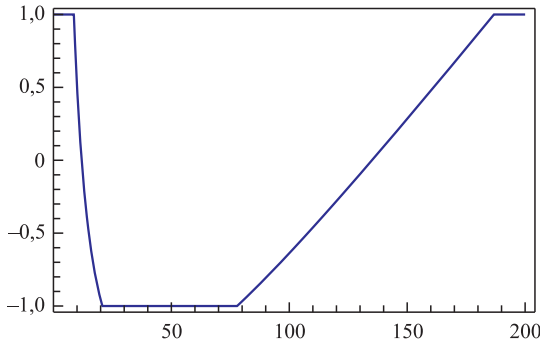
$$E_{\mu}^L = \frac{\gamma}{2} \left( E_W^r + p_W^r \beta c + c_1 \sqrt{(E_W^r + p_W^r \beta c)^2 - \frac{M_W^2}{\gamma^2}} \right) = F(c, c_1).$$

Таким образом, при заданной энергии  $E_{\mu}^L$  углы  $\theta$  и  $\theta_1$  зависят друг от друга. При фиксированной  $c_1$  величина  $c$  меняется от  $c_{\min}(E_{\mu}^L)$  до 1 (рис. 1), где

$$c_{\min}(E_{\mu}^L) = \frac{4E_{\mu}^{L^2} + M_W^2 - 4\gamma E_{\mu}^L E_W^r}{4\beta p_W^r \gamma E_{\mu}^L}.$$

Границы изменения энергии  $E_{\mu(\pm)}^{WL}$  (7) определяются выражениями

$$E_{\mu(\pm)}^{WL} = \frac{E_W^L(1 \pm \beta_{WL})}{2} = \frac{\left( E_W^L \pm \sqrt{(E_W^L)^2 - M_W^2} \right)}{2}, \quad E_{\mu-}^L = \frac{M_W^2}{4E_{\mu+}^L}. \quad (8)$$

Рис. 1. Зависимость  $c_{\min}(E_{\mu}^L)$ 

Последнее соотношение показывает, что при уменьшении  $E_W^L$  границы интервала сжимаются. Поэтому энергии мюонов определяются в пределах интервала

$$E_{\mu+}^L \geq E_{\mu} \geq E_{\mu-}^L, \quad \text{где} \quad E_{\mu\pm}^L = \frac{1}{2} \left( E_W^{L,\text{up}} \pm \sqrt{(E_W^{L,\text{up}})^2 - M_W^2} \right). \quad (9)$$

Полная плотность состояний внутри интервала (9) монотонно возрастает от внешних границ до энергий, отвечающих  $E_W^{L,d}$ :

$$E_{\mu(s\pm)} = \frac{1}{2} \left( E_W^{L,d} \pm \sqrt{(E_W^{L,d})^2 - M_W^2} \right). \quad (10)$$

В этих точках зависимость  $dN/dE_{\mu}^L$  испытывает резкие изломы. Именно их положения являются источником информации о массах  $D$ -частиц.

Чтобы выяснить, насколько резкими являются эти изломы, достаточно вычислить распределение  $dN/dE_{\mu}^L$  в простейшей модели изотропного вылета мюона в системе покоя  $W$  (угол вылета  $\mu$  в этой системе не зависит от направления движения  $W^+$  относительно  $D^+$ ). Зависимость  $dN/dE_{\mu}^L$  определяется интегрированием вкладов всех допустимых  $E_W^L$  по  $c$  и  $c_1$ :

$$\frac{dN}{dE}(E) = \iint \delta(E_{\mu}^L - F(c, c_1)) dc dc_1 \equiv \int_{c_{\min}(E_{\mu}^L)}^1 \frac{1}{p_W^L(c)} dc. \quad (11)$$

Нормированное энергетическое распределение мюонов показано на рис. 2. Помимо краев распределения  $E_{\mu\pm}^L$  (9) на графике отчетливо выделяется «полочка», отвечающая наименьшему значению  $E_W^{L,d}$  в пределах (10).

При  $M_{\pm} - M_D < M_W$  в распаде  $D^{\pm}$  рождается off-shell  $W$ -бозон, относительные вероятности различных его каналов распада такие же, как и у реального  $W$  [4]. Эффективная масса получающейся  $q\bar{q}$ - или  $\ell\nu$ -пары есть  $M^* \leq M_{\pm} - M_D$ . При каждом значении эффективной массы энергия и импульс рожденного  $W^*$  в системе покоя  $D^{\pm}$  определяются теми же соотношениями (5), а в лабораторной системе (6) с заменой  $M_W \rightarrow M^*$ .

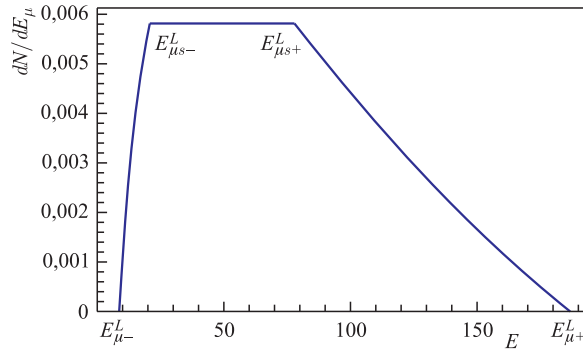


Рис. 2. Нормированное энергетическое распределение мюонов при  $E = 250$  ГэВ,  $M_+ = 150$  ГэВ,  $M_D = 50$  ГэВ

В частности, для границ изменения  $M^*$  конечные точки энергетических распределений ди-джетов, представляющих  $W^*$ , таковы:

$$E_W^{L, \text{up}; d}(M^* = 0) = \gamma_+(1 \pm \beta_+) \frac{M_\pm^2 - M_D^2}{2M_\pm}, \quad (12)$$

$$E_W^{L, \text{up}}(M^* = M_\pm - M_D) = E_W^{L, d}(M^* = M_\pm - M_D) = \gamma_+(M_\pm - M_D).$$

Распределение пар  $\ell\nu$  и ди-джетов ( $q\bar{q}$ ) по эффективной массе  $M^*$  дается зависящим от спина  $D$ -частиц  $s_D$  множителем  $R_{s_D} dM^{*2}$  [1]:

$$R_0 = \frac{p^{*3}}{(M_W^2 - M^{*2})^2}, \quad (13)$$

$$R_{1/2} = \left[ \frac{2(M_\pm^2 + M_D^2 - M^{*2})}{(M_W^2 - M^{*2})^2} - \frac{(M_\pm^2 + M_D^2)M^{*2} - (M_\pm^2 - M_D^2)^2}{(M_W^2 - M^{*2})^2 M_W^2} \right] p^*.$$

При каждом частном значении  $M^*$  распределение мюонов по энергии вычисляется также, как и в предыдущем случае. Однако теперь необходимо свернуть эти распределения с  $R_{s_D} dM^*$ :

$$\frac{dN}{dE}(E) = \frac{1}{C} \int_0^{M_+ - M_D} dM^* \int_{c_{\min}(E_\mu^L)}^1 dc \frac{R_{s_D}}{p_W^L(c)}. \quad (14)$$

Вид получившегося распределения (рис. 3) зависит от спина  $D$ -частиц, но границы распределения и положение его максимума от спина не зависят. Внешние границы распределения при  $M^* = 0$  вычисляются следующим образом:

$$\left( E_{\mu(+)}^* = \gamma_+(1 + \beta_+) \frac{M_+^2 - M_D^2}{2M_+}, \quad E_{\mu(-)}^* = 0 \right). \quad (15)$$

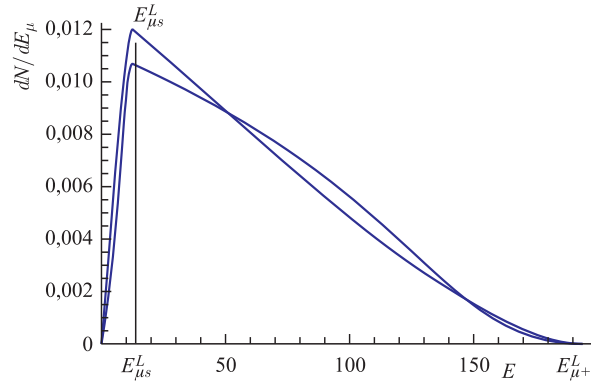


Рис. 3. Нормированное энергетическое распределение мюонов при  $E = 250$  ГэВ,  $M_{\pm} = 120$  ГэВ,  $M_D = 50$  ГэВ (off-shell  $W$ ). Верхний пик — для  $s_D = 0$ , нижний пик — для  $s_D = 1/2$

Как и ранее, увеличение  $M^*$  приводит к сжатию интервала изменения  $E_{\mu}^L$ . Итак, плотность распределения  $dN/dE_{\mu}$  монотонно возрастает вплоть до максимального значения при  $M^* = M_+ - M_D$ :

$$E_{\mu s}^L = \gamma_+(1 + \beta_+)(M_+ - M_D)/2. \quad (16)$$

*Итак, сингулярные точки энергетического распределения мюонов  $E_{\mu+}^L$ ,  $E_{\mu(s\pm)}$  или  $E_{\mu s}$  хорошо выражены, измерение их положений позволяет определить массы  $D$  и  $D^+$ .*

Если  $M_{\pm} > M_A > M_D$ , то помимо распада  $D^{\pm} \rightarrow DW^{\pm}$  возможен еще каскадный распад  $D^{\pm} \rightarrow D^A W^{\pm} \rightarrow DWZ$ . Вероятность этого распада меньше, чем основного распада, обсуждавшегося выше (см. [1]). Почти все наблюдаемые состояния, возникающие в таком распаде, без труда отделяются от процессов (2) и исключаются из кинематического анализа. Однако в распадах  $Z$  20 % случаев невидимы (распады  $Z \rightarrow \nu\bar{\nu}$ ). По внешним признакам они не отличаются от процессов (2) и должны быть учтены при анализе.

Итак, эти события увеличивают число наблюдаемых мюонов менее чем на 20 %. Получающиеся при этом энергетические распределения мюонов определяются в точности теми же формулами, что обсуждались выше, с естественной заменой  $M_D$  на  $M_A$ . Поскольку  $M_A > M_D$ , верхняя граничная точка этого дополнительного вклада ниже верхней границы вклада, даваемого основным процессом, ее наблюдение может быть затруднено. Другие особые точки могут дать небольшие дополнительные особенности в распределениях, которые должны быть учтены при анализе. Само существование этих процессов обнаруживается по наблюдению каналов с изучаемыми распадами  $Z$ . Это же наблюдение дает грубую оценку относительного вклада всех этих распадов и, соответственно, доли мюонов, попавших в наш анализ из нового канала.

Я благодарен И.Ф. Гинзбургу за руководство работой. Работа поддержана грантами РФФИ 11-02-00242-а, НШ-3810.2010.2 и программой Отделения физических наук РАН «Экспериментальные и теоретические исследования фундаментальных взаимодействий, связанные с работами на ускорительном комплексе ЦЕРН».

СПИСОК ЛИТЕРАТУРЫ

1. *Ginzburg I. F.* Simple and Robust Method for Search Dark Matter Particles and Measuring Their Properties at ILC in Various Models of DM. arXiv:1010.5579v2 [hep-ph]. 2010. 4 p.
2. *Копылов Г. И.* Всего лишь кинематика. М.: Наука, 1981. 176 с.
3. *Heuer R. D. et al.* TESLA Technical Design Report. DESY 2001-011, TESLA Report 2001-23, TESLA FEL 2001-05. 2001. 192 p.
4. *Nakamura K. et al.* Particle Data Group // J. Phys. G. 2010. V. 37. 075021.